Révision: 6802

Titre : SSNV142 - Essai de fluage propre : modèle Granger

Date: 04/08/2011 Page: 1/9 Responsable: Marina BOTTONI Clé: V6.04.142

# SSNV142 - Essai de fluage propre : modèle Granger

### Résumé:

Ce cas-test de mécanique quasi-statique non linéaire simule un essai de fluage uni-axial. Il a pour objectif de valider la relation de comportement de « Granger », permettant de modéliser le fluage propre des bétons. Ce modèle viscoélastique linéaire (groupement de modèles rhéologiques de Kelvin en série) permet de prendre en compte les effets de la contrainte, de la température et de l'hygrométrie.

Dans ce test, la contrainte appliquée, la température et l'état hygrométrique sont constants.

Dans la modélisation A, le cylindre est modélisé en axi-symétrique par quatre éléments quadrangles à 8 nœuds. Dans la modélisation B, la structure est une barre, et dans la modélisation C, c'est une poutre multifibre. La modélisation D traite le même problème sur un cube 3D .

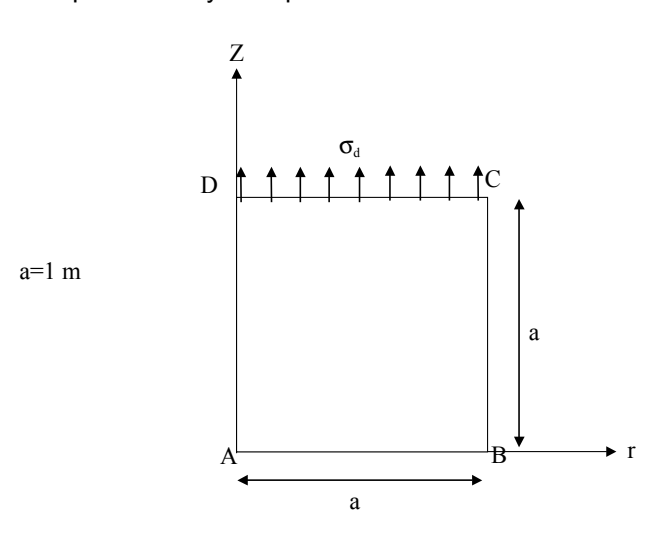
Les résultats obtenus par Code\_Aster sont comparés avec la solution analytique de référence.

Date: 04/08/2011 Page: 2/9 Responsable: Marina BOTTONI Clé: V6.04.142 Révision: 6802

## Problème de référence

#### 1.1 Géométrie

État uni-axial : éprouvette cylindrique ou volume élémentaire 3D ou barre, de dimension unité.



#### 1.2 Propriétés de matériaux

Elasticité isotrope 
$$E=31000 \, MPa$$
  $v=0.2$ 

Relation de comportement de fluage propre « Granger ».

$$J_1 = 3.226 \, 10^{-5} MPa^{-1}$$
  
 $\tau_1 = 432000 \, s$   
 $J_2 = 6.452 \, 10^{-5} MPa^{-1}$   
 $\tau_2 = 4320000 \, s$ 

Tableau 1.2-1

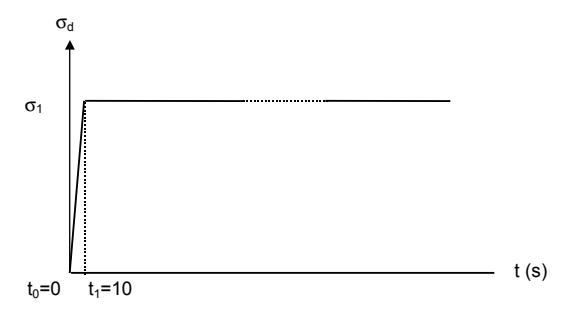
On ne tient compte ni du phénomène de vieillissement, ni de l'effet de la température dans la relation de comportement de Granger.

### Conditions aux limites et chargements 1.3

Sur le côté AB :  $u_z = 0$ 

On impose uniformément sur la structure une température constante de  $T=20\,^{\circ}C$ hygrométrie constante h=1.

Chargement : on charge en traction de 0 à  $20\,MPa$  en  $10\,s$  . (pression imposée telle que  $\sigma_{zz} = -\sigma_1 \cdot t$  ) et on maintient le chargement pendant 1 an.



Date: 04/08/2011 Page: 3/9

Titre : SSNV142 - Essai de fluage propre : modèle Granger

Responsable : Marina BOTTONI Clé : V6.04.142 Révision : 6802

## 2 Solution de référence

## 2.1 Méthode de calcul utilisée pour la solution de référence

Étant donnée la nature des sollicitations, la solution (contraintes  $\sigma$  , déformations  $\varepsilon$  ) est homogène.

Soit le chargement :  $\begin{vmatrix} 0 & 0 & 0 \\ 0 & \sigma_d(t) & 0 \\ 0 & 0 & 0 \end{vmatrix}$ 

Le modèle de fluage propre de Granger est tel que la déformation viscoélastique correspondant au cas d'un chargement constant  $\sigma_0$  appliqué à l'instant  $t_0$  vaut : (cf. [R7.01.01])

$$\varepsilon^{f}(t) = \sigma_0 \sum_{k=1}^{8} J_k \cdot \left( 1 - \exp\left[ -\frac{t - t_0}{\tau_s} \right] \right)$$

Le modèle dépend également de la température et de l'hygrométrie de la manière suivante :

$$\varepsilon^{f}(t) = \sigma_0 h \cdot \frac{T - 248}{45} \cdot \sum_{k=1}^{8} J_k \cdot \left[ 1 - \exp \left[ -\frac{t - t_0}{\tau_s} \right] \right]$$

mais dans ce test les champs de température et d'hygrométrie sont choisis constants et tels que h et  $\frac{T-248}{45}$  valent respectivement 1.

Lorsque la contrainte évolue avec le temps alors :

$$\varepsilon^{f}(t) = \sum_{k=1}^{8} \int_{\tau=0}^{t} J_{k} \cdot (1 - \exp\left[-\frac{t-\tau}{\tau_{s}}\right]) \cdot \frac{\partial \sigma}{\partial \tau} \cdot d\tau$$

on a donc pour le cas présent :

$$\varepsilon_{yy}^{fl} = \sum_{k=1}^{2} \int_{\tau=0}^{t=t_1} J_k \cdot (1 - \exp\left[-\frac{t-\tau}{\tau_s}\right]) \cdot \frac{\sigma_1}{t_1} \cdot d\tau$$

le chargement restant constant au-delà de t<sub>1</sub>. Soit

$$\varepsilon_{yy}^{\text{fl}} = \sigma_1 \sum_{k=1}^{k=2} J_k \cdot \left( 1 - \exp\left(-\frac{t - t_1}{\tau_s}\right) \right) \underbrace{\frac{\tau_k}{t_1} \left( 1 - \exp\left(-\frac{t_1}{\tau_s}\right) \right)}_{\approx 1}$$

Une déformation longitudinale de fluage s'accompagne d'une déformation transversale telle que :

$$\varepsilon_{xx}^{fl} = -\nu \varepsilon_{vv}^{fl}$$

La déformation totale uni-axiale vaut :  $\varepsilon_{yy} = \varepsilon_{yy}^{f} + \frac{\sigma_{yy}}{F}$ 

## 2.2 Résultats de référence

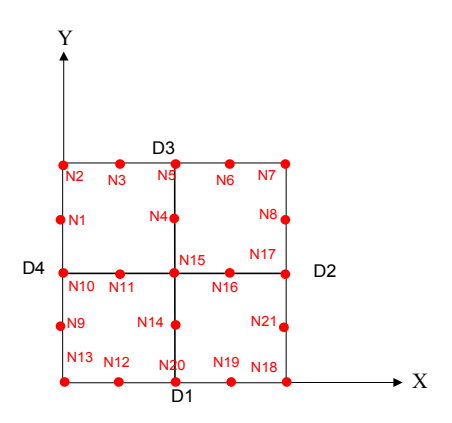
On s'intéressera aux valeurs des déformations de fluage à 45 jours, 245 jours et 365 jours.

Date: 04/08/2011 Page: 4/9 Responsable: Marina BOTTONI Clé: V6.04.142 Révision: 6802

#### 3 Modélisation A

#### 3.1 Caractéristiques de la modélisation

Modélisation AXIS



Le chargement et les conditions aux limites sont modélisés par :

•Sur la face D1 , déplacement en Y nul

• Sur la face D3 , traction imposée

On impose de plus une température uniforme et constante de  $20\,^{\circ}C$  et un champ de séchage uniforme et constant de 1 sur la structure. La courbe de sorption-désorption (donnée utilisateur) permet de passer de la variable séchage à l'hygrométrie.

### 3.2 Caractéristiques du maillage

Nombre de nœuds : 21 Nombre de mailles et types 4 QUAD4

Tableau 3.2-1

#### Grandeurs testées et résultats 3.3

On teste les valeurs de $\varepsilon_{xx}^f$ et $\varepsilon_{yy}^f$ au nœud $N5$ , pour les instants 45, 245 et 365 jours					
Variables	numéro d'ordre	Référence	Aster	% différence	
$\varepsilon_{xx}^{fl}$	10	2.82E-004	2.82E-004	0.	
$\varepsilon_{yy}^{fl}$	10	-1.41E-003	-1.41E-003	0.	
$\varepsilon_{xx}^{fl}$	50	3.85E-004	3.85E-004	0.	
$\varepsilon_{yy}^{fl}$	50	-1.925872 E-3	–1.925872 E-3	0	
$oldsymbol{arepsilon}^{fl}_{xx}$	74	$3.8692210^{-04}$	$3.8692210^{-04}$	0.	
$\varepsilon_{vv}^{fl}$	74	$-1.934610^{-03}$	$-1.934610^{-03}$	0.	

Tableau 3.3-1

Date: 04/08/2011 Page: 5/9 Responsable: Marina BOTTONI Clé: V6.04.142 Révision: 6802

#### **Modélisation B** 4

#### 4.1 Caractéristiques de la modélisation

Un élément de barre de longueur 1 et de section unité, suivant Ox.

On impose de plus une température uniforme et constante de  $20\,^{\circ}C$ et un champ de séchage uniforme et constant de 1 sur la structure . La courbe de sorption-desorption (donnée utilisateur) permet de passer de la variable séchage à l'hygrométrie.

#### 4.2 Caractéristiques du maillage

Nombre de nœuds : Nombre de mailles et types 1 SEG2

Tableau 4.2-1

#### 4.3 Grandeurs testées et résultats

On teste les valeurs de DX aux numéros d'ordre correspondant à 365 jours

Variables	s numéro Référence d'ordre		Aster	% différence	
DX	74	-2.58 E-03	-2.58 E-03	0.	_

Tableau 4.3-1

Date: 04/08/2011 Page: 6/9 Responsable: Marina BOTTONI Clé: V6.04.142 Révision: 6802

#### **Modélisation C** 5

#### 5.1 Caractéristiques de la modélisation

Un élément de poutre multi-fibre (POU D EM) de longueur 1 et de section unité, suivant Ox. On impose de plus une température uniforme et constante de  $20\,^{\circ}C$  et un champ de séchage uniforme et constant de 1 . La courbe de sorption-desorption (donnée utilisateur) permet de passer de la variable séchage à l'hygrométrie.

#### 5.2 Caractéristiques du maillage

Nombre de nœuds : 2 Nombre de mailles et types 1 SEG2

Tableau 5.2-1

#### 5.3 Grandeurs testées et résultats

On teste les valeurs aux numéros d'ordre correspondant à 365 jours

Variables	numéro d'ordre	Référence	Aster	% différence
DX	74	-2.58E-003	-2.58E-003	0.

Tableau 5.3-1

Date: 04/08/2011 Page: 7/9 Responsable: Marina BOTTONI Clé: V6.04.142 Révision: 6802

#### Modélisation D 6

#### 6.1 Caractéristiques de la modélisation

Modélisation 3D Z NO6 NO7 S\_GCH NO8 NO<sub>5</sub> 1m S ARR NO2 NO3 S INF 1mNO1

> Hauteur:  $h=1.00 \, m$  Largeur:  $l=1.00 \, m$  Epaisseur:

On définit les mailles suivantes :

S ARR NO3 NO7 NO8 NO4 S AVT NO1 NO2 NO6 NO5 S DRT NO1 NO5 NO8 NO4 S GCH *NO3 NO2 NO6 NO7* S INF *NO1 NO2 NO3 NO4* S SUP NO5 NO6 NO7 NO8

Les conditions aux limites en déplacement imposées sont :

Sur la face S INF DZ=0S ARR: DY = 0Sur la face Sur la face S GCH : DX = 0

Le chargement est constitué du même champ de séchage et de la même FORCE\_FACE appliquée au S SUP . On impose uniformément sur la structure une température constante de  $T=20\,^{\circ}C$  et une hygrométrie constante h=1.

On charge en compression de à 20 *MPa*  $10\,s$  . et on maintient le chargement 0 en pendant 1 an.

### 6.2 Caractéristiques du maillage

Nombre de nœuds :

Nombre de mailles et types 1 HEXA8 6 QUAD4

Tableau 6.2-1

Date: 04/08/2011 Page: 8/9 Responsable : Marina BOTTONI Clé: V6.04.142 Révision: 6802

#### 6.3 Grandeurs testées et résultats

On teste les valeurs de  $\varepsilon_{xx}^{fl}$  et  $\varepsilon_{zz}^{fl}$  au nœud NO6 , pour les instants 45, 245 et 365 jours

Variables	Jour	Numéro d'ordre	Référence	Aster	% différence
$\epsilon_{xx}^{fl}$	45	10	2.82160e-4	2.82160e-4	0.
	45	10	-1.41079e-03	-1.41079e-03	0.
$oldsymbol{arepsilon}_{zz}^{fl} \ oldsymbol{arepsilon}_{xx}^{fl}$	245	50	3.8520D-04	3.8520D-04	0.
${\cal E}_{zz}^{xx}$	245	50	-1.92587e-03	-1.92587e-03	0.
${\cal E}_{xx}^{fl}$	365	74	3.8692e-04	3.8692e-04	0.
$arepsilon_{zz}^{xx}$	365	74	-1.934608e-03	-1.934608e-03	0.

Tableau 6.3-1

Date: 04/08/2011 Page: 9/9 Responsable : Marina BOTTONI Clé: V6.04.142 Révision: 6802

# Synthèse des résultats

Les résultats obtenus avec *Code\_Aster* sont proches de ceux de la solution de référence (écarts < 0.05% )